Simona Cocco

Modélisation de l'ADN

J. Marko (UIC, Chicago), R. Monasson, N. Douarche

Optimisation et complexité calculatoire

R. Monasson

Analyse de données, modélisation de réseaux de neurones

C. Wyart, D. Chatenay

Etude de complexes de molécules de cyclodextrine

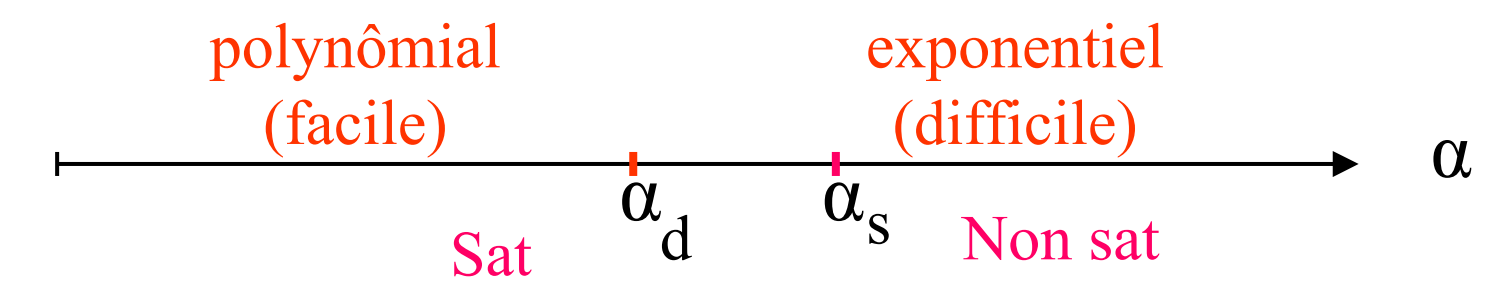
E. Collé, C. Marques

Optimisation et complexité calculatoire

Satisfaction : variables + contraintes de contraintes $\alpha = \frac{\# \text{ contraintes}}{\# \text{ variables}}$

Complexité calculatoire = temps pour résoudre le problème

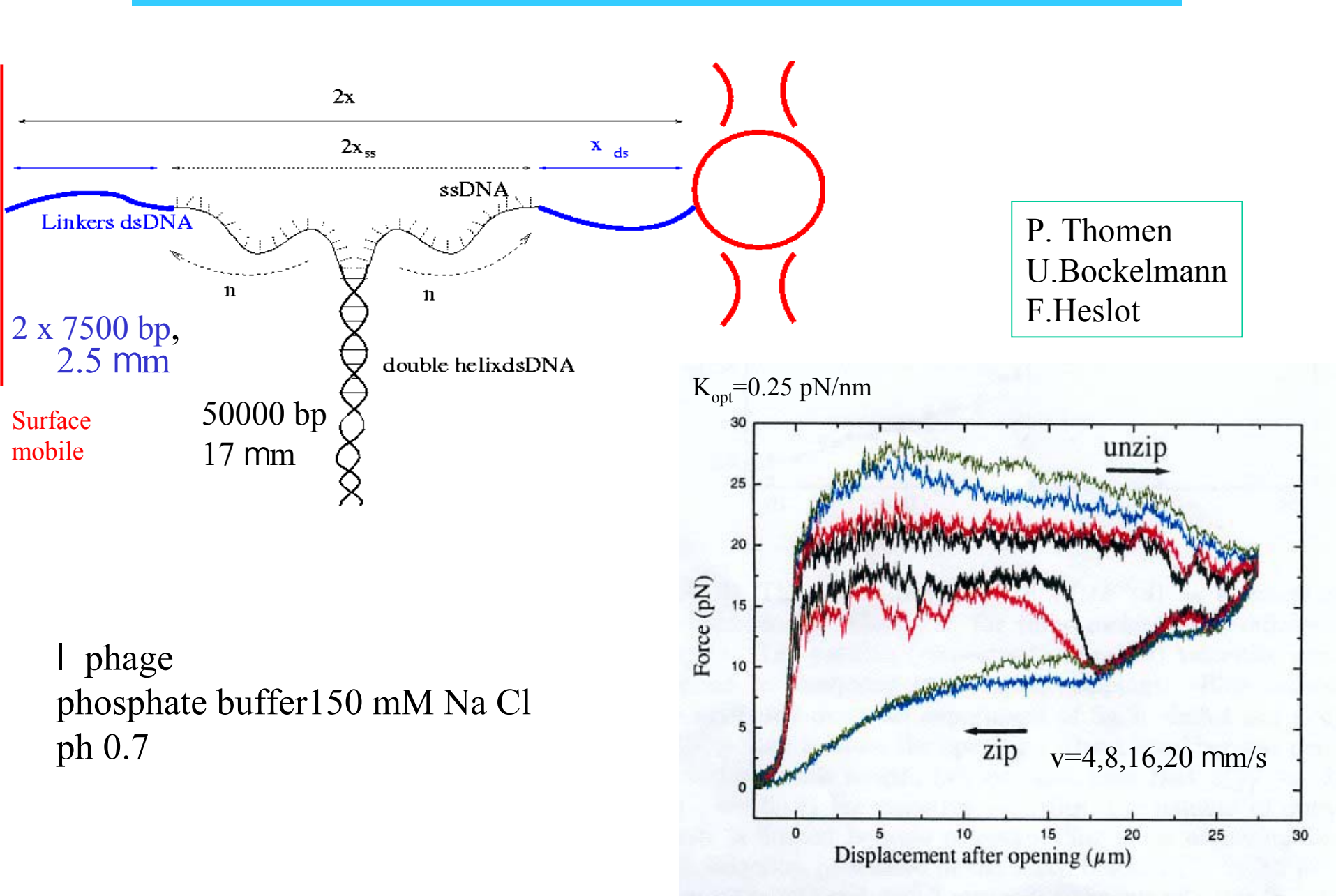
Algorithme → Dynamique induite sur les contraintes



analyse combinatoire, phys. stat. hors équilibre, simulations numériques.

- Phys. Rev. Lett. 86, '01
- EPJ B 22, `01
- Images de la Physique '01

Dynamique de dégraffage de l'ADN



Elasticité de l'ADN double brins (dsDNA)

Modèle du ver élastique

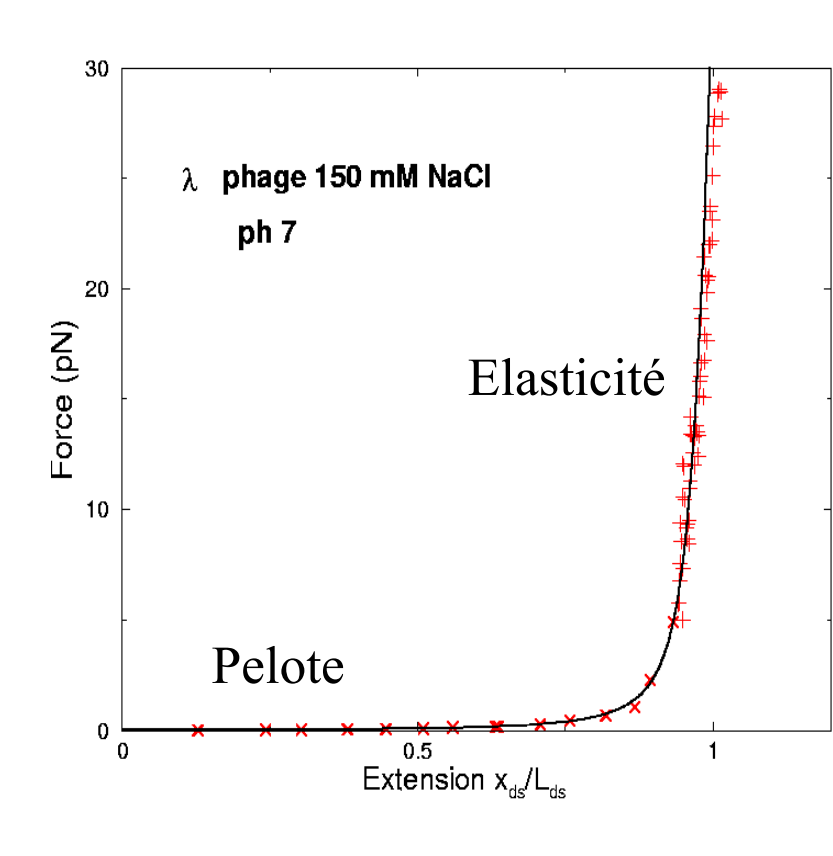


Formule approché d'Odijk

$$x_{ds}(f) = L_{ds} \left[1 - \frac{1}{2} \left(\frac{k_B T}{f A} \right)^{\frac{1}{2}} + \frac{f}{\gamma_{ds}} \right]$$

longueur de persistance : A=50 nm

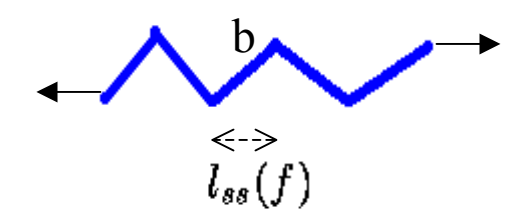
module de Young: g_{ds}=1000 pN



D. Bensimon, V.Croquette
J.F Leger et al . (groupe LDFC)

Elasticité de l'ADN simple brin (ssDNA)

Modèle de la chaîne à articulations libres

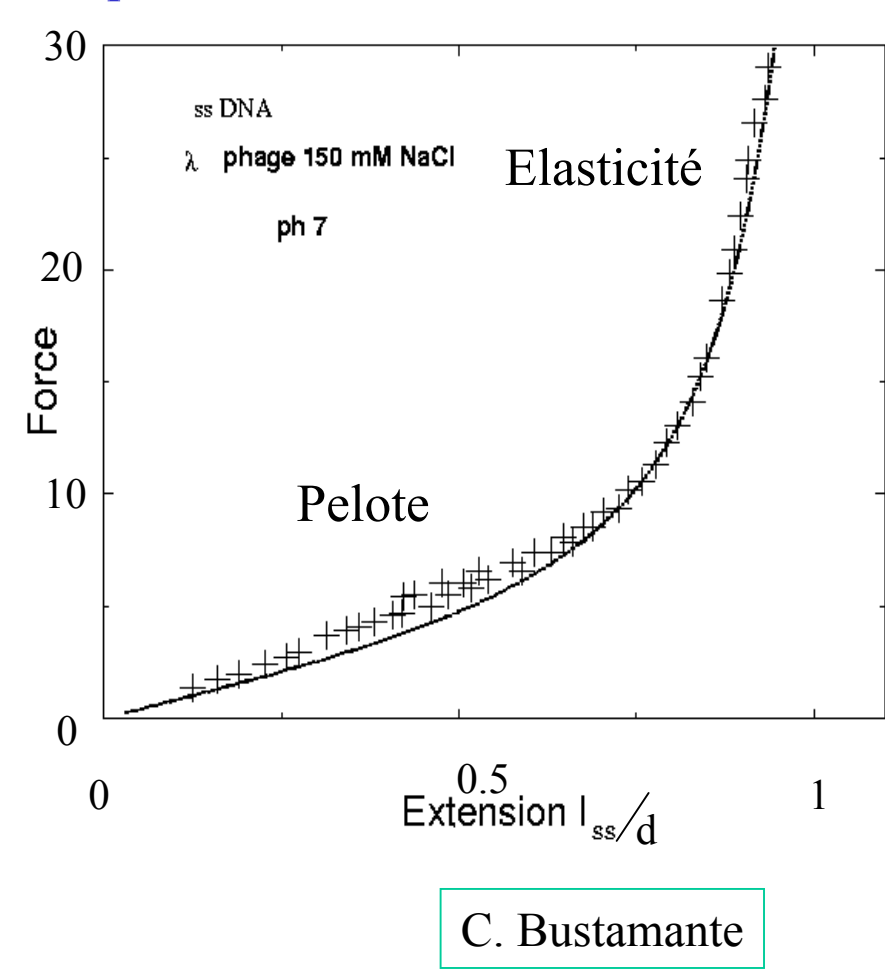


$$x_{ss} = n l_{ss}(f)$$

$$l_{ss}(f) = d \left[Coth\left(rac{f\,b}{k_BT}
ight) - rac{k_BT}{f\,b}
ight] \left[1 + rac{f}{\gamma_{ss}}
ight]$$

longueur de Kuhn : b = 1.4 nmlongueur d'un monomère : d = 0.56 nmmodule de Young : $g_{ss} = 800 \text{ pN}$

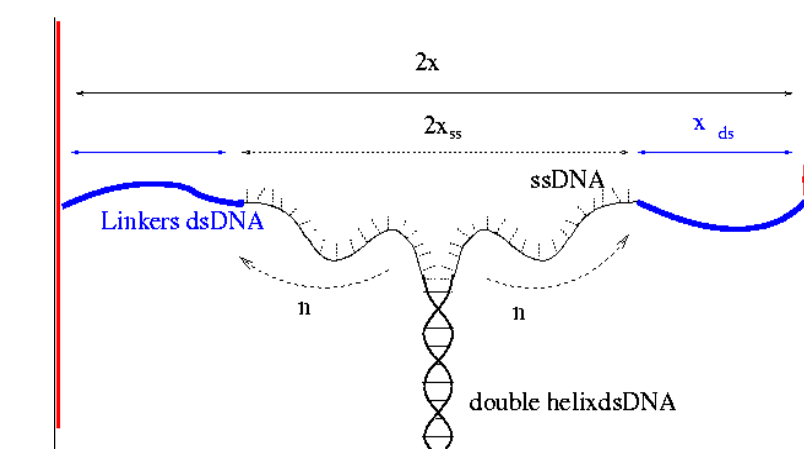
Forte dépendence en les conditions salines!



Dégraffage à l'équilibre

Energie libre à déplacement x fixé

$$F_x(n,x_{ds}) = 2 \; W_{ds}(x_{ds}) + 2 W_{ss}(x-x_{ds},n) + n \; g_0$$



Equilibre

Rief et. al

$$\frac{\partial F_x(n, x_{ds})}{\partial x_{ds}} = 0 \rightarrow f_{ds} = f_{ss}$$

$$rac{\partial F_x(n,x_{ds})}{\partial n}=0
ightarrow 2 \, w_{ss}(f_u)=g_0$$
 $w_{ss}(f)=\int_0^f l_{ss}(f') \, df'$

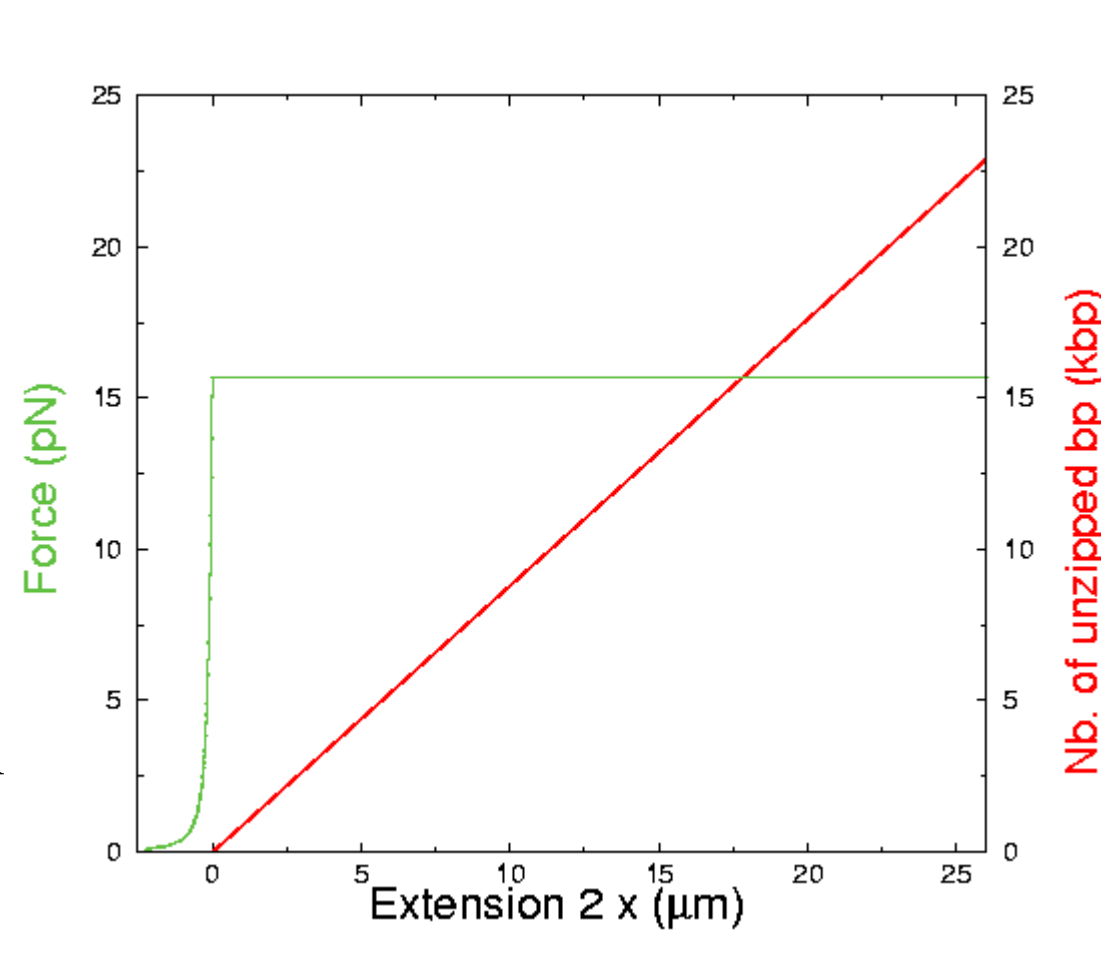
Énergie libre de liaison d'une paire de bases

$$g_0=2.5 k_B T \rightarrow fu=16 pN$$

Nombre de paires de bases ouvertes

$$x = n \, l_{ss}(fu) + x_{ds}(fu)$$

Pente = $1/2l_{ss}(fu) = 1 \text{ bp/nm}$



Dégraffage de l'ADN en présence d'un couple de torsion

travail de la force + travail du couple = énergie de liaison d'une paire de bases

$$2 w_{ss}(f) - GQ_0 = g_0$$

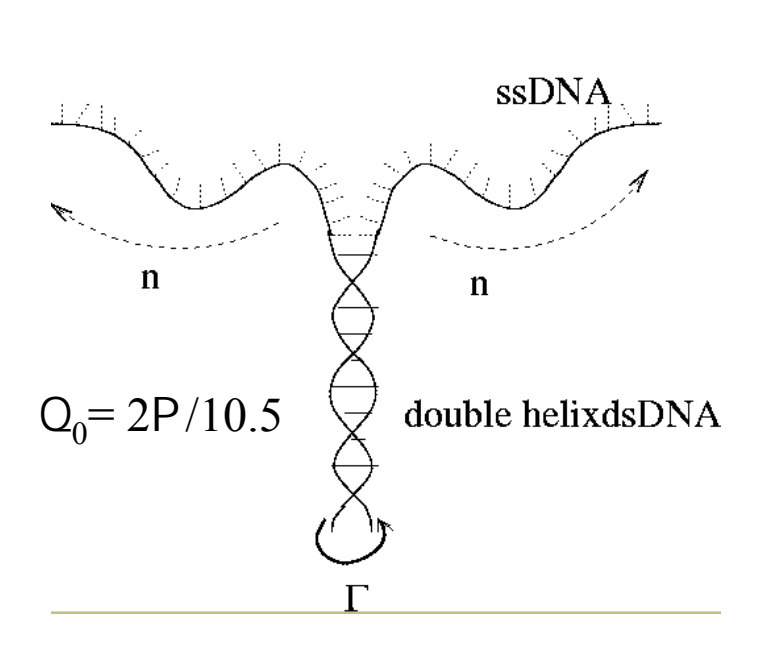


Diagramme de phases ss DNA Force (pN) ds DNA o ∟ -6 Torque (k_BT) Strick, Bensimon, Croquette

Dynamique de dégraffage à haute vitesse

• Equilibre:
$$0 = 2 w_{ss}(f(n,x)) - g_0 - \Gamma \theta_0$$

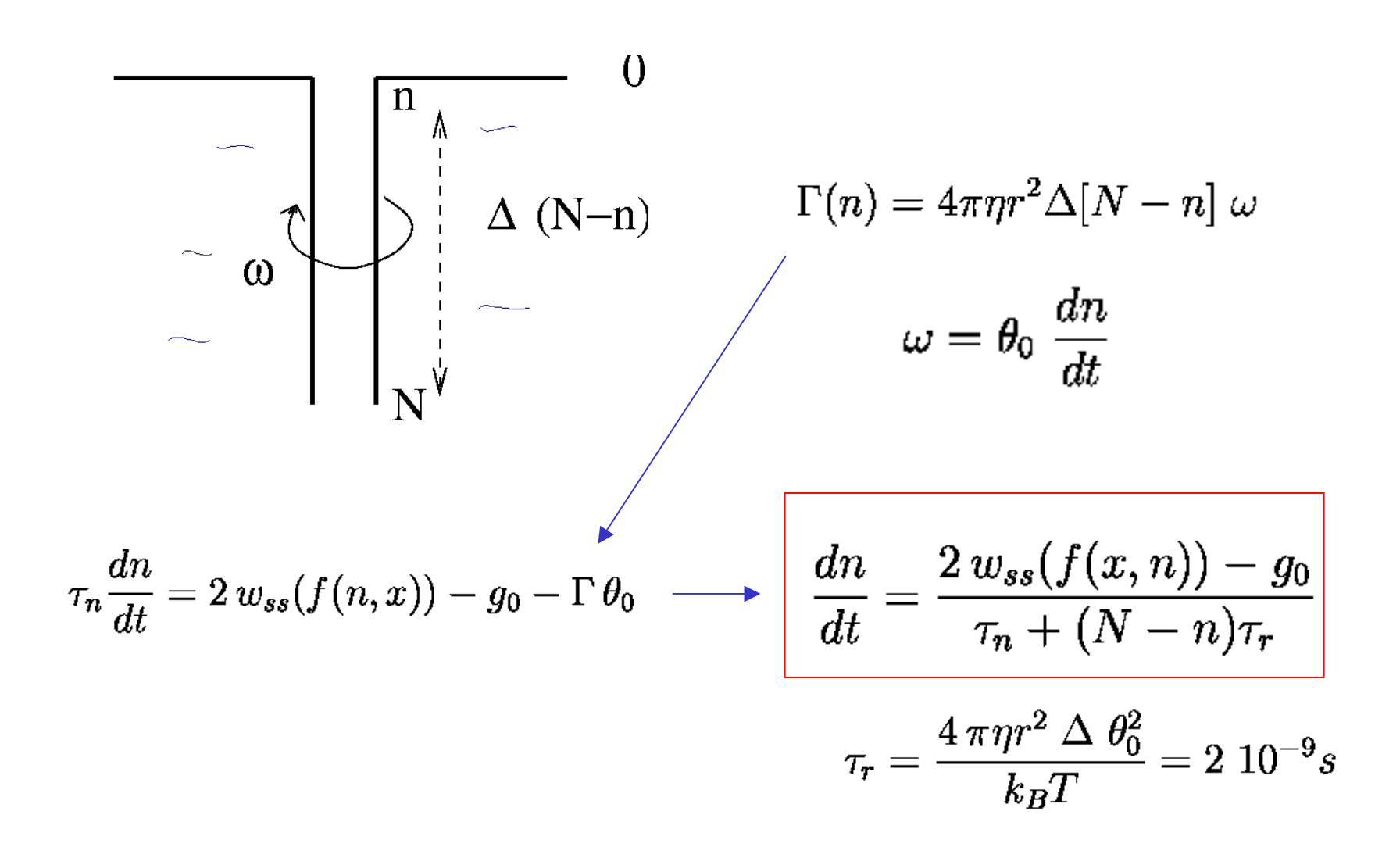
Correct à faible vitesse d'ouverture dx/dt ...

• Dynamique de relaxation du nombre de paires de bases ouvertes

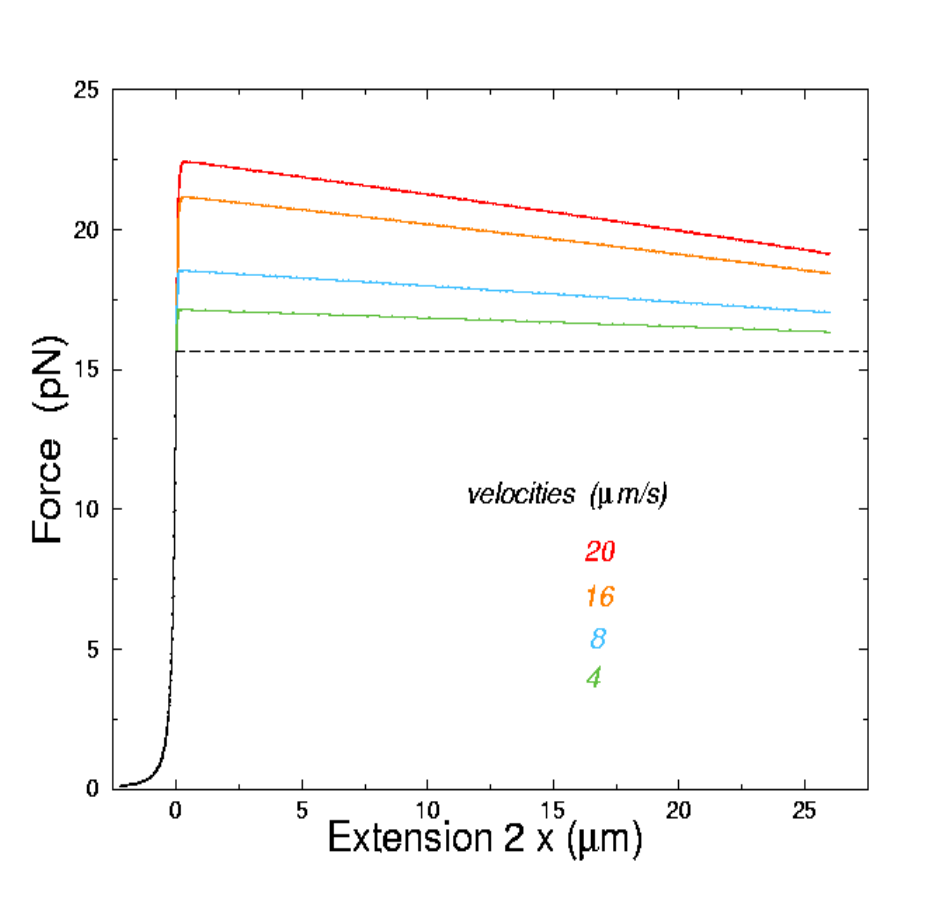
$$\tau_n \frac{dn}{dt} = 2 w_{ss}(f(n,x)) - g_0 - \Gamma \theta_0$$

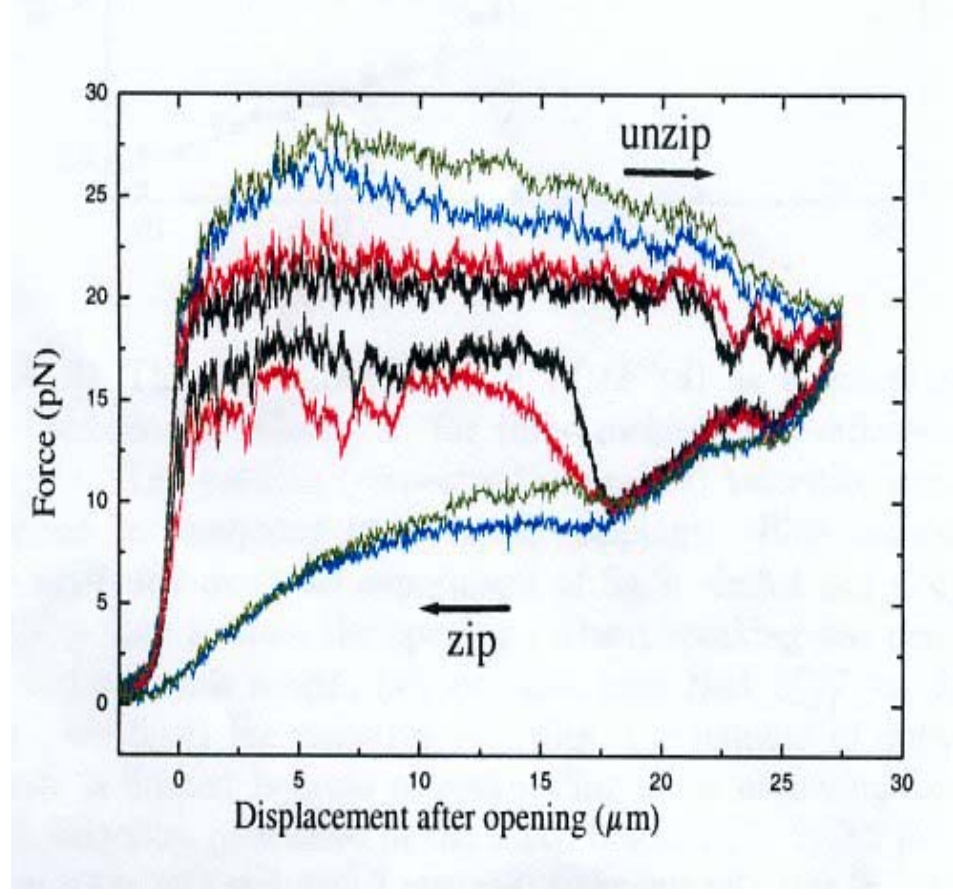
$$\tau_n \simeq \frac{4\pi \eta r^3}{k_B T} \simeq 10^{-8} s.$$

Dynamique dominée par la torsion visqueuse

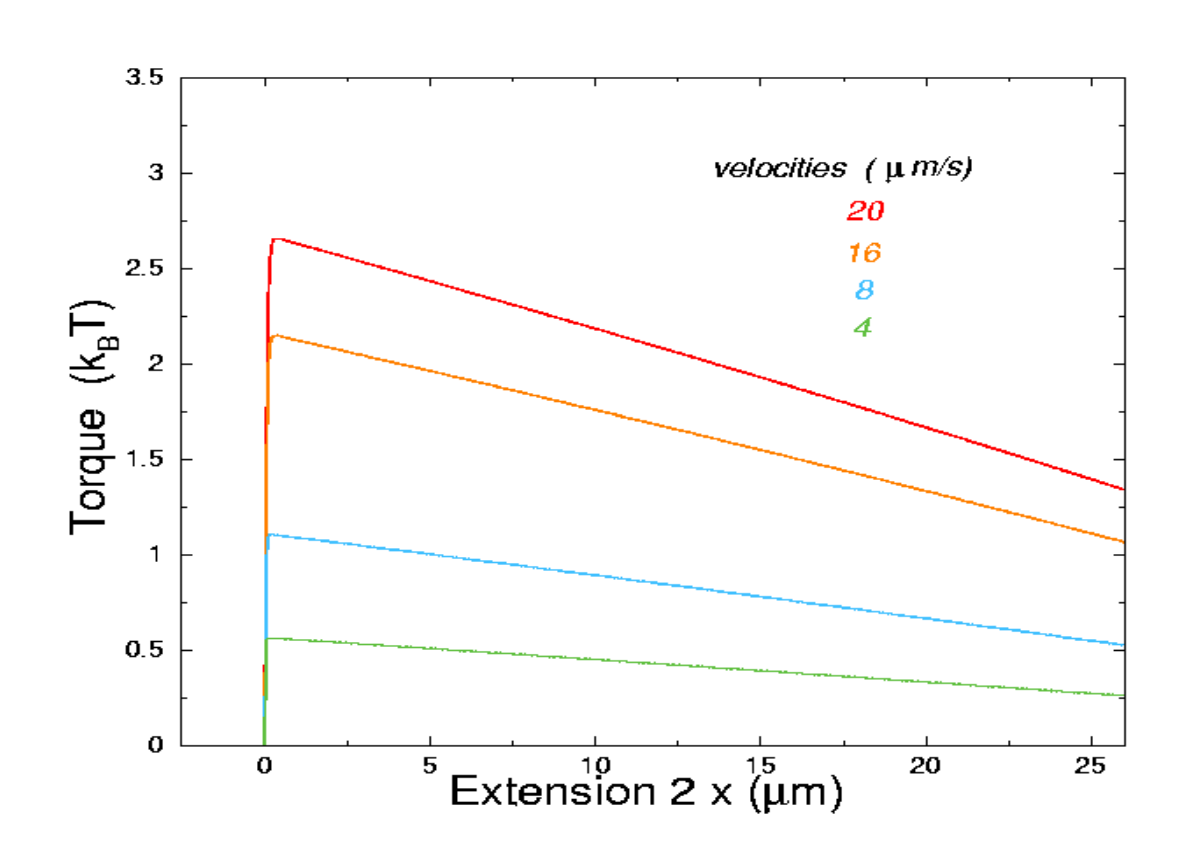


Dynamique dominée par la torsion visqueuse : résultats

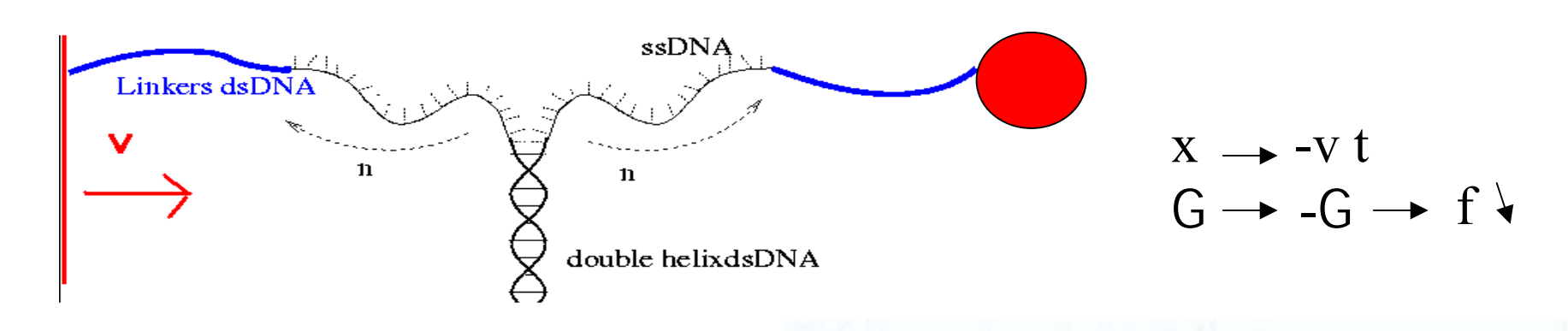


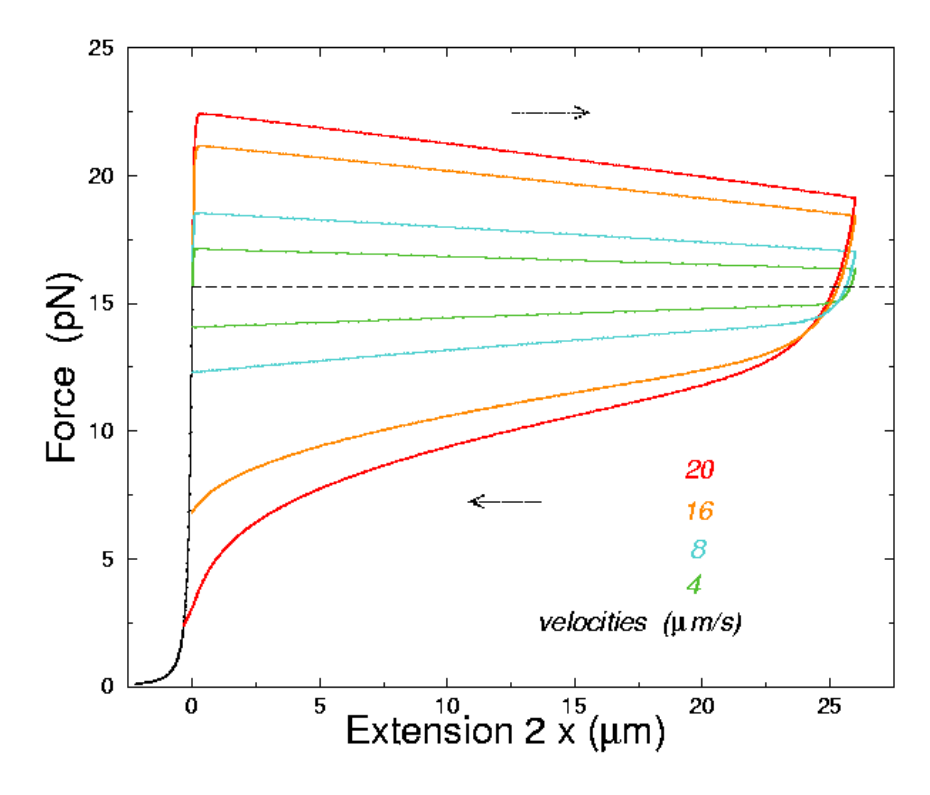


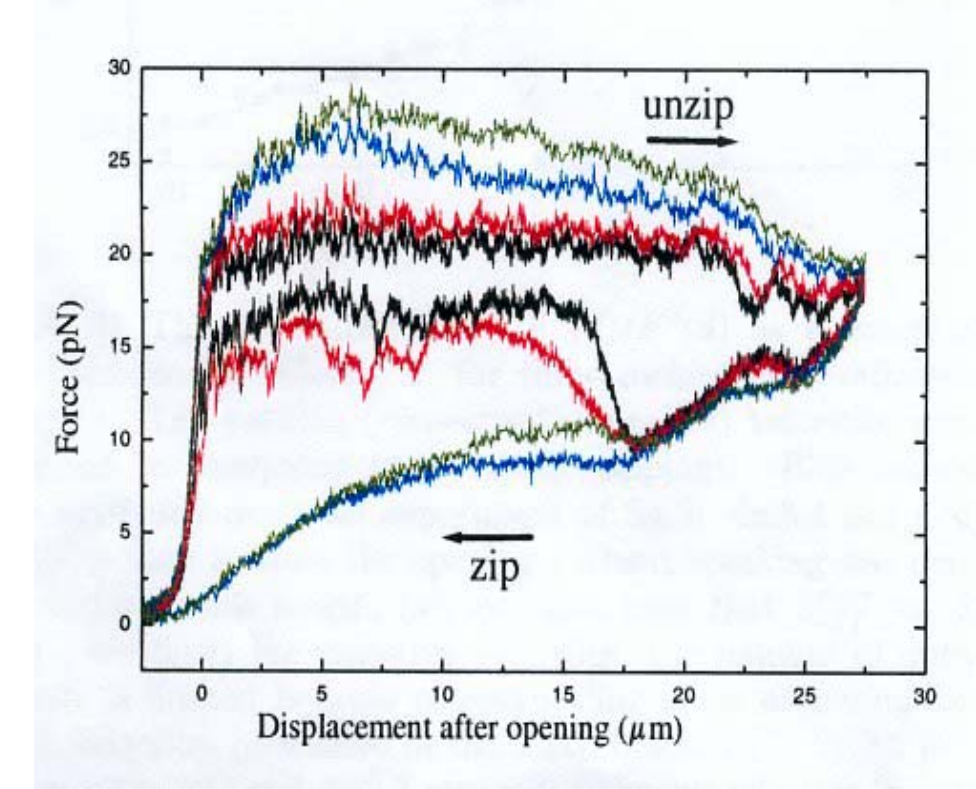
Dynamique du couple de torsion visqueuse: résultats



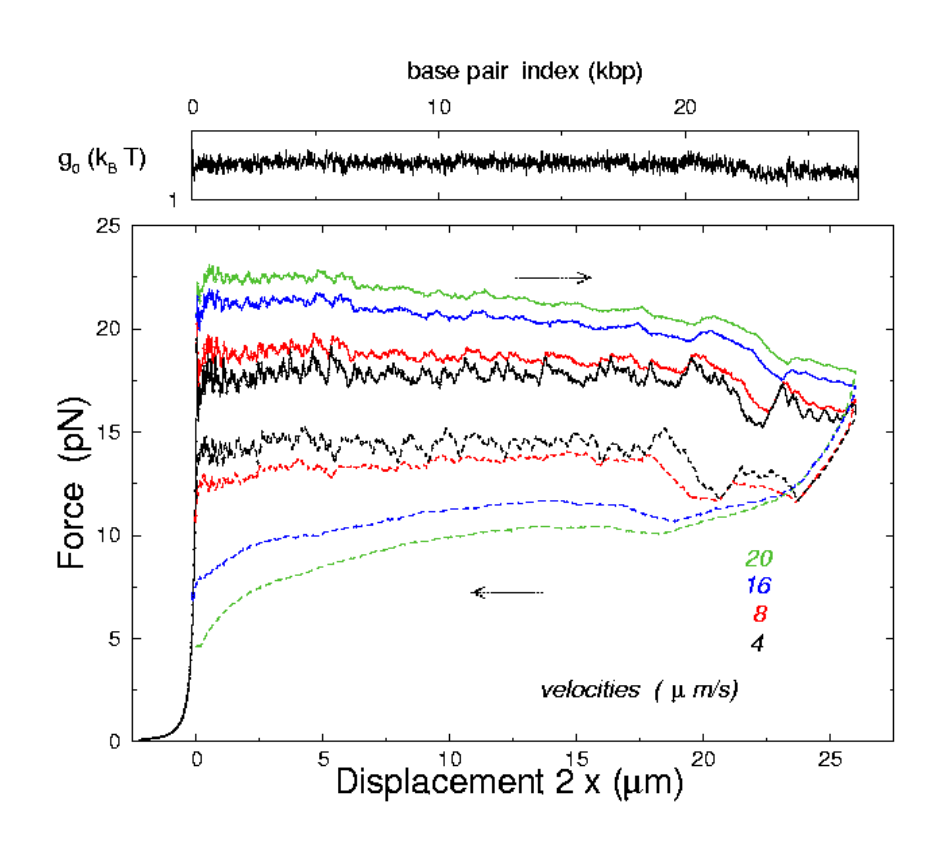
Dynamique de fermeture

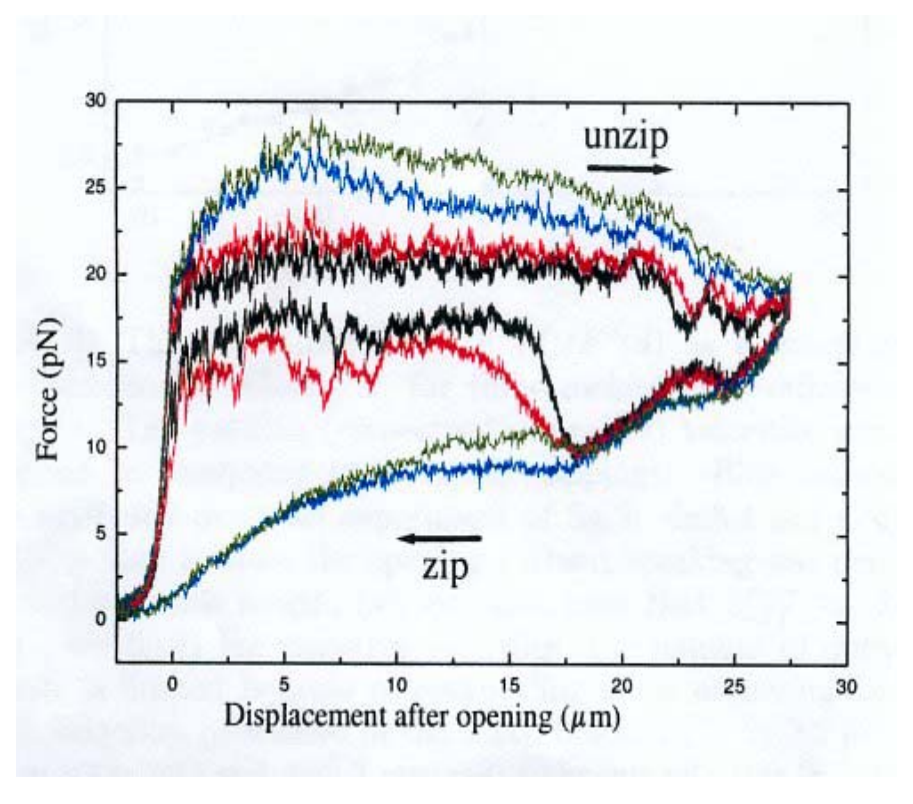






Effets dûs à la séquence





Relaxation de la torsion

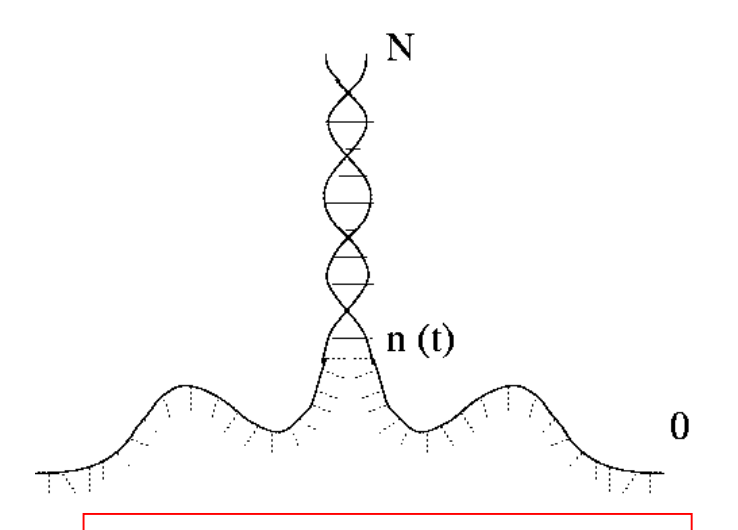
$$E_{\theta} = \frac{C \, k_B T}{2} \int \left(\frac{d\theta}{dm} \right)^2 dm$$

$$au_w rac{\partial heta}{\partial t} = rac{\partial^2 heta}{\partial m^2}$$

$$\tau_w = \frac{4\pi \eta r^2 \Delta^2}{C \, k_B T} = 2 \, 10^{-11} s$$

$$\Gamma(n) = \frac{C}{\Delta} \left. \frac{\partial \theta}{\partial m} \right|_{m=n}$$

$$au_n rac{dn}{dt} = 2w_{ss}(f(n,x)) - heta_0 \Gamma(n) - g_0$$



Conditions aux bords

$$\theta(m,0)=0$$

$$\frac{\partial \theta}{\partial m}(N,t) = 0 \qquad ,$$

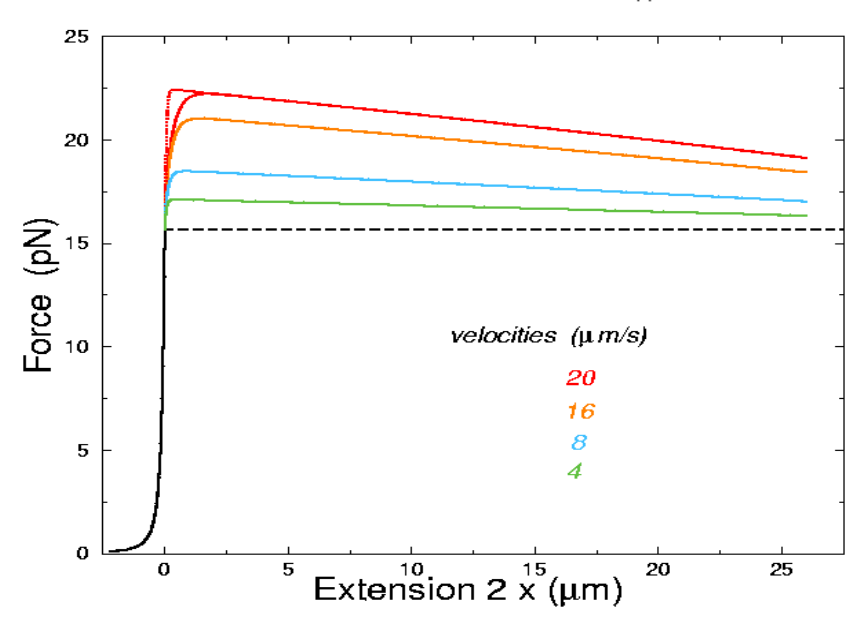
$$\theta(n(t),t) = -\theta_0 \, n(t)$$

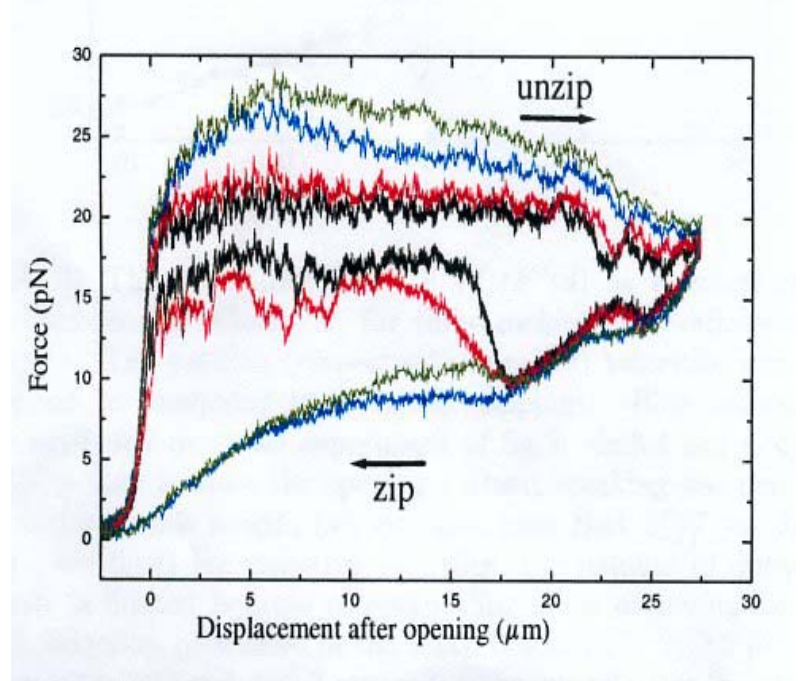
Dynamique

$$n(t) = \int_0^t dt \ G(t - t') \ [2w(f(n, x)) - g_0]$$

$$G(t-t') = \left\{ \frac{1}{\tau_n + N\tau_r} + 2\sum_{\ell=1}^{\infty} \frac{e^{-\ell^2 (t-t')/t_0}}{1 + N\tau_r/\tau_n + \ell^2 \pi^2 \tau_n/(N\tau_r)} \right\} ,$$

$$t_0 = \frac{N^2 t_w}{\pi^2} = 4.5 \, 10^{-3} s$$





Conclusions

- Etude de la dynamique de la fourche d'ouverture (effets de sequence, effets de la rotation de la double hélice à grande vitesse)
- Prise en compte de la dynamique de relaxation des linkers et de l'ADN simple brin; courbure de l'axe de la double hélice ...